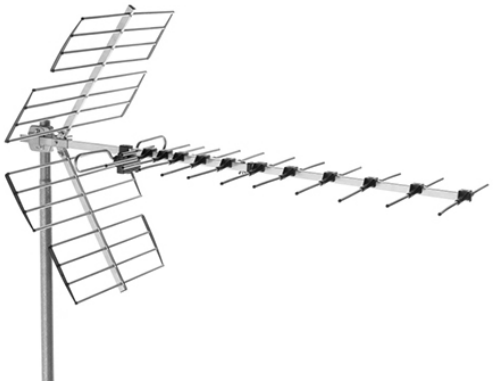
# 900 ANTENAS TERRESTRES

## CAJA 5 ANTENAS BU-452 EN BOLSAS PLASTICO



Código : **9000203**

Modelo : **GA-452**

Caja con 5 antenas BU-452 en bolsas de plástico individuales.

Antena de array doble diseñada para cubrir la banda UHF hasta 694 MHz. Rechazo de las señales de telefonía 4G y 5G gracias a su simetrizador con filtro de rechazo LTE700 incorporado. Montaje rápido y fácil: todos los componentes están premontados y no se requieren herramientas para su montaje.

Aplicaciones
Instalaciones de TV terrestre digital y analógica, colectiva o donde sea necesario el rechazo de las bandas LTE700 y LTE800.

Características
Rechazo de señales LTE700, LTE800 y GSM, así como señales provenientes de la parte inferior de la antena. Antena robusta con gran resistencia tanto al sol como al salitre. Fabricada en aluminio, plástico resistente a la intemperie y acero galvanizado. Ajuste del ángulo de elevación, montaje en polaridad horizontal o vertical.Incorpora un simetrizador con conector F y filtro de rechazo LTE, que está protegido dentro de una caja.

| CÓDIGO-CODE-CODE | | | 9000202 | 9000111 |
|---|---|---|---|---|
| MODELO-MODEL-MODELE | | | BU-452 | BU-457 |
| Rango de frecuencias<br>Frequency range<br>Gamme de fréquences | MHz | | 470 - 694 | |
| Canales<br>Channels<br>Canaux | | | 21 - 48 | |
| Ganancia<br>Gain<br>Gain | dBi | | 16 | |
| Rechazo LTE700<br>LTE700 rejection<br>Rejet LTE700 | dB | | 40 | 10 |
| Relación delante/ detrás<br>Front/back ratio<br>Rapport avant/ arriere | dB | | 25 | |
| Impedancia<br>Impedance<br>Impédance | Ω | | 75 | |
| Pérdidas de retorno<br>Return loss<br>Pertes de retour | dB | | ≥ 10 | |
| Polarización<br>Polarity<br>Polarisation | | | HOR /VER | |
| Ángulo de apertura<br>Beam width<br>Angle d´ouverture | ° H | | 28 | |
| | ° V | | 34 | |
| Longitud<br>Lenght<br>Longueur | mm | | 1298 | |
| Resistencia al viento<br>Wind loading<br>Résistance au vent | N | H | 89 | |
| | | V | 94 | |
| Índice de protección<br>Protection index<br>Indice de protection | | | IP 53 | |